

## 瞬間加熱된 Strip의 過渡的熱應力解析

朴 鍾 殷 · 金 曉 哲 \*

Thermal Stress Analysis in the Vicinity of Butt Welded Joint of a Strip

by

J. E. Park, H. Kim

### Abstract

In this paper, it is desired to show a simplified analytic method in estimating the thermal stresses in the heat affected zone of butt welded joint.

A finite strip as shown in Fig. 1 is taken as a analytical model for stress analysis.

Expressing the temperature distributions by Fourier series, the thermal stresses are obtained.

From the numerical sample calculation, the following results can be obtained.

- (1) Thermal stresses can be estimated by the suggested method.
- (2) The stress component, which is parallel to the weld direction is the largest stress component in major part of the strip.
- (3) In obtaining a stress component for the engineering purpose, length of the strip can be treated as five times of the thickness with same degree of convergency.

記 號	
$T$ :	溫 度
$t$ :	時 間
$x, y$ :	任意點의 座標
$\alpha$ :	熱膨脹係數
$E$ :	彈性係數
$c$ :	比 热
$\rho$ :	密 度
$q$ :	平面狀熱量
$k = \frac{\lambda}{c\rho}$ :	溫度擴散率
$\lambda$ :	熱傳達率

### 1. 緒 言

冷間壓接을 除外하고는, 現在 우리가 使用하고 있는 焊接法은 全部 热을 利用하고 있다.

따라서 焊接過程中에는 急激한 加熱 및 冷却으로 因하여 局部的 热應力이 發生하게 된다. 이리한 热應力은 高溫龜裂 및 低溫龜裂을 일으키는 直接의인 原因이 될 뿐 아니라 冷却後의 殘留應力의 原因도 된다. 殘留應力은 構造物의 豫期치 끝한 破損을 갖어오며 热應力

으로 因한 殘留變形은 工作 및 使用에 許多한 問題를 일으키게 된다.

그리므로 焊接에서 热應力 및 아래 隨伴되는 殘留應力等의 問題를 研究함은 工學上 大端히 重要한 問題이다.

그리나 加熱이 局部的이고, 또 過渡的이라는 特性 때문에, 簡單한 假定으로 解를 얻을 수 있는 種類의 热傳達問題 보다는 取扱하기 어려운 點이 많다. 大部分의 境遇에 焊接으로 因한 热應力 및 殘留應力은 解析的인

方法으로 嚴密하게는 解를 求할 수 없다.

熱應力分野의 研究中 航空分野에 있어서는 比較的 많은 研究가 있으나[1], 焊接分野에서는 그 特異性으로 因하여 研究가 最近에 이르러 비로소 本格化되고 있다.

S.I. Roberts 는 polaris submarine의 missile tube 를 焊接할 때 發生하는 膨脹과 收縮에 依한 變形調節方法을 研究發表하고 있고[2], K. Notvest 는 超張力鋼인 D6Ac 를 焊接 및 热處理하는 過程에서 어떤 thermal cycle에 對한 焊接部의 延性과 耐龜裂性間에 어떤 關係를 얻는등[3], 若干의 研究發表가 있고, 日本에서도 近年에 와서 焊接熱應力を 數理的 또는 實驗的으로 研究가 活潑해지는 傾向이며[4], 我們나라에서는 極히 最近에 이르러 이에 關한 研究가 한 두件 發表되고 있는 程度이다.[5]

本研究에서는 焊接에서 가장 많이 使用되는 butt 焊接의 热應力を 解析하기 为하여 그 첫 단계로서 좁은 strip 을 butt 焊接하는 境遇를 對象으로 하였다. 이 境遇의 過渡的 温度分布는 參考文獻[6]에서와 같이 求하여진다고 보고 이를 Fourier 級數로 展開하므로서 热應力函数의 解를 求하였다.

## 2. 理論解析

熔接熱應力問題에서의 다른 여러 研究의 境遇와 같이 工學的計算의 目的으로는 別影響을 미치지 못하는 材料의 物理的性質에 對하여는 다음과 같은 假定을 設定하였다.

- (1) 比熱, 密度, 热傳導率은 温度에 關係없이 一定한 値을 갖이며 热傳達率은 無視한다.
- (2) 温度分布는 一定時間에 任意 x 座標에 對해서 y 軸上의 各點은 同一溫度라고 본다.

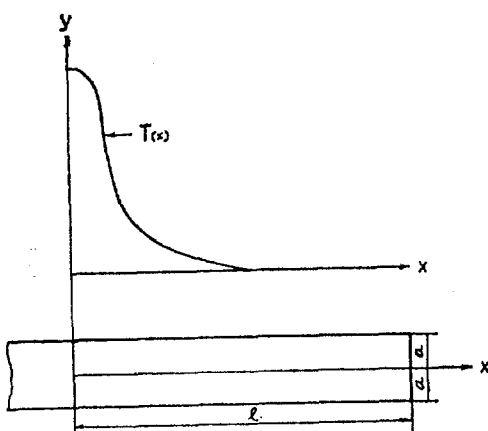


Fig. 1. Coordinate System

(3) strip 的 材質은 對象範圍에서 均質이다.

위와 같은 假定에 依하고, 热應力函数를  $\phi$  라 하면  $\phi$ 는 다음 (1)式의 條件을 滿足하여야 한다.[7]

$$\frac{\partial^4 \phi}{\partial x^4} + 2 \frac{\partial^4 \phi}{\partial x^2 \partial y^2} + \frac{\partial^4 \phi}{\partial y^4} = -E\alpha \left( \frac{\partial^2 T}{\partial x^2} + \frac{\partial^2 T}{\partial y^2} \right) \cdots (1)$$

本研究에서 焊接溫度分布는 遇函数이므로 이것은 Fourier cosine 級數로 展開된다고 生覺하고 于先 그 級數의 任意의 한 項에 對한 热應力函数를 求하여 본다.

只今 Fig. 1에서 표시된 바와 같은 길이  $l$ , 幅  $2a$  되는 矩形板(단,  $l \gg 2a$ )에 그 길이 方向으로, 温度分布는 다음 (2)式과 같다고 生覺한다.

$$T(x) = T_0 \cos \omega x \cdots \cdots \cdots (2)$$

$$\text{단, } \omega = \frac{m\pi}{l}, m = 1, 2, 3, \dots$$

이러한 温度分布에 依해서는 热應力函数는 다음 (3)式으로 變形된다.

$$\frac{\partial^4 \phi}{\partial x^4} + 2 \frac{\partial^4 \phi}{\partial x^2 \partial y^2} + \frac{\partial^4 \phi}{\partial y^4} = E\alpha T_0 \omega^2 \cos \omega x \cdots (3)$$

이 微分方程式의 特殊解를,  $\phi_p = A \cos \omega x$ 라는 形으로 假定하고 이것을 (3)에 代入하여 常數  $A$ 를 決定하면  $\phi_p$ 는 다음 (4)式이 된다.

$$\phi_p = \frac{E\alpha T_0}{\omega^2} \cos \omega x \cdots \cdots \cdots (4)$$

그리고 微分方程式 (3)의 餘函数는 다음 (5)式과 같이 假定한다.

$$\phi_r = f(y) \cos \omega x \cdots \cdots \cdots (5)$$

단,  $f(y)$ :  $y$  만의 函数

그리면  $\phi$ 는 다음 (6)式과 같이 된다.

$$\phi = \frac{E\alpha T_0}{\omega^2} \cos \omega x + f(y) \cos \omega x \cdots \cdots \cdots (6)$$

(6)式을 (3)式에 代入하여  $\phi$ 를 求하면 다음 (7)式이 일어진다.

$$\phi = \cos \omega x \left[ (c_1 y + c_2) e^{\omega y} + (c_3 y + c_4) e^{-\omega y} + \frac{E\alpha T_0}{\omega^2} \right] \cdots \cdots \cdots (7)$$

여기서 應力分布의 對稱性과 境界條件 (8)式을 適用하여 積分常數들을 求해보면 다음 (9)式이 된다.

$y = \pm a$  에서는

$$\sigma_y = \tau_{xy} = 0 \cdots \cdots \cdots (8)$$

$$\begin{aligned} c_1 &= -c_3 = \frac{E\alpha T_0}{2\omega} \frac{\sinh \omega a}{\omega a + \sinh \omega a \cosh \omega a} \\ c_2 &= c_4 = -\frac{E\alpha T_0}{2\omega^2} \frac{\sinh \omega a + \omega a \cosh \omega a}{\omega a + \sinh \omega a \cosh \omega a} \end{aligned} \cdots \cdots \cdots (9)$$

(9)式의 關係를 (7)式에 代入하여 다음과 같이  $\sigma_x$ ,  $\sigma_y$ ,  $\tau_{xy}$ 를 얻는다.

$$\left. \begin{aligned} \sigma_x &= 2E\alpha T_0 \cos \omega x \times F_{1(\omega, y)} \\ \text{단, } F_{1(\omega, y)} &= \frac{(\omega a \cosh \omega a - \sinh \omega a) \cosh \omega y - \omega y \sinh \omega y \sinh \omega a}{2\omega a + \sinh 2\omega a} \\ \sigma_y &= -2E\alpha T_0 \cos \omega x \times F_{2(\omega, y)} \\ \text{단, } F_{2(\omega, y)} &= \left[ \frac{1}{2} + \frac{(\omega a \cosh \omega a + \sinh \omega a) \cosh \omega y - \omega y \sinh \omega y \sinh \omega a}{2\omega a + \sinh 2\omega a} \right] \\ \tau_{xy} &= 2E\alpha T_0 \sin \omega x \times F_{3(\omega, y)} \\ \text{단, } F_{3(\omega, y)} &= \frac{\omega a \cosh \omega a \sinh \omega y - \omega y \cosh \omega y \sinh \omega a}{2\omega a + \sinh 2\omega a} \end{aligned} \right\} \quad (10)$$

只今 Fig. 1에 표시된 바와 같은 strip에  $y$  軸上에서 빠른速度로 熔接한다고假定하고,  $2a$ 를比較的 작게 잡으면 測度分布는  $x$  軸方向으로一次元의이고 그것은 다음 (11)式으로 표시된다. [6]

$$T_{(x)} = M e^{-\beta x^2} \quad (11)$$

$$\text{단 } M = \frac{q}{2c\rho \sqrt{\pi k t}}, \quad \beta = \frac{1}{4kt}$$

이 測度分布에 對하여, 時間을 常數로 보아 다음 (12)式과 같이 Fourier cosine 級數로 展開한다.

$$T_{(x)} = A + \sum_{m=1}^{\infty} a_m \cos \omega x \quad (12)$$

$$\text{단 } A = \frac{1}{l} \int_0^l T_{(x)} dx$$

$$a_m = \frac{2}{l} \int_0^l T_{(x)} \cos \omega x dx \quad (13)$$

여기서  $A$ 는常數項이므로 热應力에는影響이 없다.  $a_m$ 은 다음과 같이求해진다. (13)式에 (11)式을代入하면 (14)式이얻어진다.

$$a_m = \frac{2}{l} \int_0^l M e^{-\beta x^2} \cos \omega x dx \quad (14)$$

熔接後經過時間에 比해  $l$ 을 適切히 크게 잡으면, 測度分布上으로는  $x$ 의無限遠點과工學의으로同

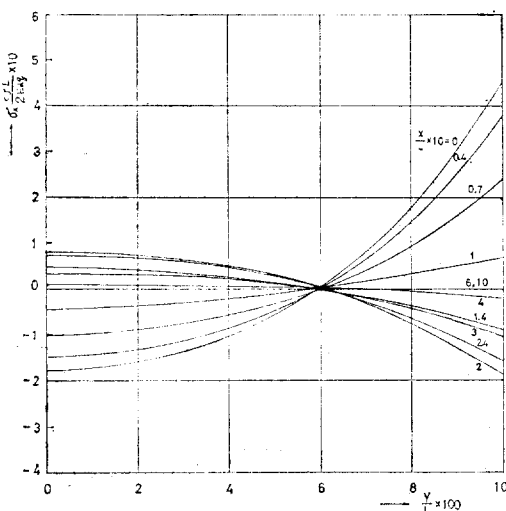


Fig. 2-1 Variations of  $\sigma_x$  along  $y$  coordinate

等하므로 (15)式의公式을利用하고, [8]  $M$ 와  $\beta$ 의값을代入해서計算하여 다음 (16)式과같이  $a_m$ 이求해진다.

$$\int_0^l e^{-\beta x^2} \cos \omega x dx = \frac{1}{2} \sqrt{\frac{\pi}{\beta}} e^{-\frac{\omega^2}{4\beta}} \quad (15)$$

$$a_m = \frac{q}{c\rho l} e^{-kt\omega^2} \quad (16)$$

따라서  $T_{(x)}$ 에依한  $\sigma_x, \sigma_y, \tau_{xy}$ 는 (12)式을 (10)式에代入해서 다음 (17)式과같이求해진다.

$$\left. \begin{aligned} \sigma_x &= \frac{2E\alpha q}{c\rho l} \sum_{m=1}^{\infty} e^{-kt\omega^2} \cos \omega x \times F_{1(\omega, y)} \\ \sigma_y &= -\frac{2E\alpha q}{c\rho l} \sum_{m=1}^{\infty} e^{-kt\omega^2} \cos \omega x \times F_{2(\omega, y)} \\ \tau_{xy} &= \frac{2E\alpha q}{c\rho l} \sum_{m=1}^{\infty} e^{-kt\omega^2} \sin \omega x \times F_{3(\omega, y)} \end{aligned} \right\} \quad (17)$$

### 3. 數值計算

數值計算에 있어서는 이應力函數에는  $\omega a = (\frac{m\pi}{l} a)$ 와  $kt$ 가包涵되어 있으므로  $\frac{a}{l}$ 와  $kt$ 의값에 따라 달라진다. 따라서本計算에서는適切한  $kt$ 와  $\frac{a}{l}$ 를 하

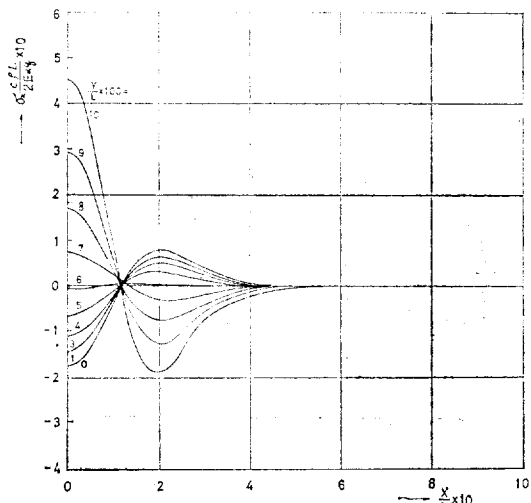
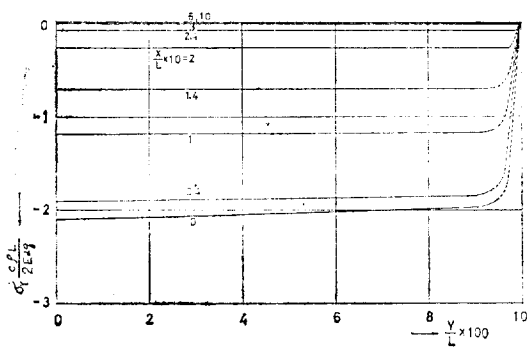
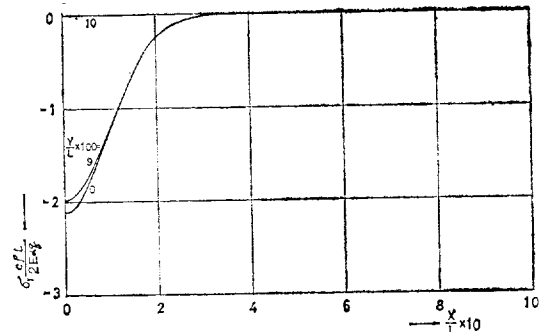
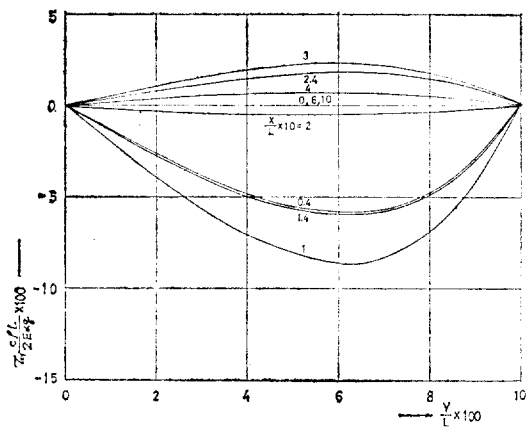
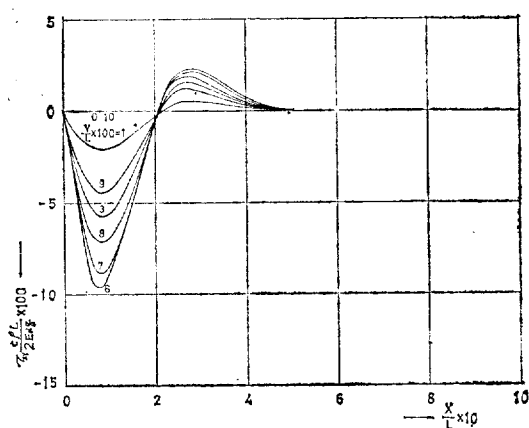
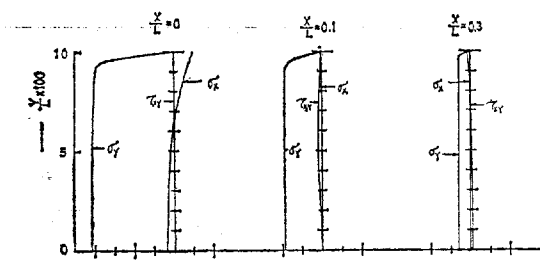
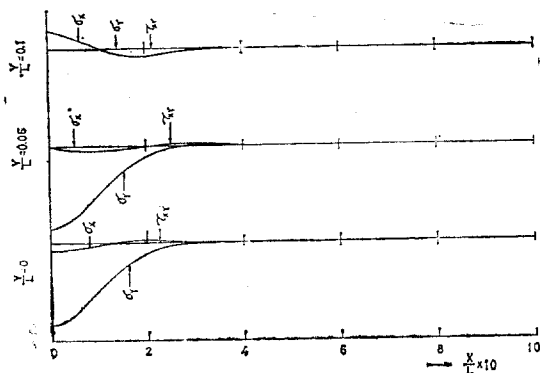


Fig. 2-2 Variations of  $\sigma_x$  along  $x$  coordinate

Fig. 3-1 Variations of  $\sigma_y$  along  $y$  coordinateFig. 3-2 Variations of  $\sigma_y$  along  $x$  coordinateFig. 4-1 Variations of  $\tau_{xy}$  along  $y$  coordinateFig. 4-2 Variations of  $\tau_{xy}$  along  $x$  coordinateFig. 5-1 Comparison between  $\sigma_x$ ,  $\sigma_y$ ,  $\tau_{xy}(1)$ Fig. 5-2 Comparison between  $\sigma_x$ ,  $\sigma_y$ ,  $\tau_{xy}(2)$

나選擇하여 使用하였다. 즉  $kt = 0.005$ 와  $l = 10$ ,  $a = 1$ 인 값에 對해서 計算하여 보았다.

溫度分布  $T_{(x)}$ 는  $x$ 의 값이 작을 때 큰 값을 取하다가 急激히 작아지고 그 後는 緩慢하게 減少하므로 收效을 좋게 하기 위하여  $m$ 은 80項까지 取하였다. 計算에는 서울大學 工科大學이 保有하는 IBM 1130를 利用하였다. 이 計算結果를 圖表로 表示해 보면 앞면의 Fig. 2-1에서 Fig. 5-2과 같다.

#### 4. 檢 討

計算된 結果를 檢討해 보면 다음과 같다.

(1)  $\sigma_x$ :  $\sigma_x$ 에 對한 計算結果는 Fig. 2-1과 Fig. 2-2에 표시되어 있다. 이것을 보면  $\sigma_x$ 는 strip의 端面(즉  $\frac{y}{l} = 0.1$ 인 곳)에서는  $\frac{x}{l} = 0$ 되는 點에서 最大引張應力이 되고  $\frac{x}{l}$ 의 값이 증가하면서漸次 減少하고,  $\frac{x}{l} = 0.12$ 近處에서 零이 되어 引張應力은 없어진다. 이 點을 지난後도 더욱 減少하여  $\frac{x}{l} = 0.2$ 附近에서 最大壓縮應力이 된 후漸次 減少하여  $\frac{x}{l} = 0.5$ 近處에서零이 되고 이 點以後에 있어서  $\sigma_x$ 는 存在하지 않는다. 또  $x$ 軸上(즉  $\frac{y}{l} = 0$ 인 곳)에서는  $\frac{x}{l} = 0$ 되는 點에서最大壓縮應力이 되고 이 壓縮應力은  $\frac{x}{l}$ 의 값이 增加하면서漸次 減少하고  $\frac{x}{l} = 0.12$ 近處에서零이 된다. 그 以後는 引張應力이 發生하여漸次 增加하여  $\frac{x}{l} = 0.2$ 에서 最高值에 達한 後漸次 減少하여  $\frac{x}{l} = 0.5$ 近處에서零이 되고亦是 그 點以後에  $\sigma_x$ 는 存在하지 않는다. 다음에는  $\sigma_x$ 의  $y$ 軸方向의 變化를 살펴 보기로 한다.  $\frac{x}{l} = 0$ 되는  $y$ 軸上에서  $\frac{y}{l} = 0.1$ 되는 strip의 端面에서는最大引張應力이든 것이  $\frac{y}{l}$ 의 값이漸次 減少함에 따라 減少하다가  $\frac{y}{l} = 0.06$ 되는 點에서零이 되고 그 以後는 壓縮應力이 發生하여  $\frac{y}{l}$ 가 減少함과 더부리 增加하고  $\frac{y}{l} = 0$ 에서 最大壓縮應力이 된다.

따라서  $\sigma_x$ 는  $x$ 軸方向으로는  $\frac{x}{l} = 0.12$ 에서 引張에서 壓縮으로( $\frac{y}{l} = 0.06$ 보다 큰 部分), 또는 壓縮에서 引張으로( $\frac{y}{l} = 0.06$ 보다 작은 部分)付號가 바뀐다. 그러나  $\frac{x}{l} = 0.12$ 보다 큰  $x$ 의 部分에서의 壓縮應力은  $\frac{x}{l} = 0.12$ 보다 작은 部分에서의 그것보다는 훨씬 작음을 알 수 있다. 또  $y$ 軸方向으로는  $\frac{y}{l} = 0.06$ 을 境界로 하여  $\frac{y}{l}$ 가漸次 減少하면서 引張에서 壓縮으로

( $\frac{x}{l} = 0.12$ 보다 작은 部分) 또는 壓縮에서 引張으로( $\frac{x}{l} = 0.12$ 보다 큰 部分)付號가 바뀐다.

(2)  $\sigma_y$ :  $\sigma_y$ 에 對한 計算結果는 Fig. 3-1과 Fig. 3-2에 표시되어 있다.  $\sigma_y$ 도亦是  $\frac{x}{l} = 0$ 에서 最高壓縮應力を 表示하다가  $\frac{x}{l}$ 의 增加에 따라漸次 減少하여  $\frac{x}{l} = 0.5$ 近處에서零이 된다.  $\sigma_y$ 의  $x$ 軸方向으로의 變化狀態는  $T_{(x)}$ 의 變化狀態와恰似하다. 또  $\sigma_y$ 는  $y$ 軸方向으로는 別變化가 없는데 이것은 strip의 宽이 좁아서 같은  $x$ 의 位置에서는 等溫이기 때문이라고 보여진다.

$\sigma_y$ 의 값은 恒常 負의 値으로서 언제나 壓縮應力임을 나타내고 있다. 이것은 高溫部의 热膨脹을 低溫部が 抑制하기 때문이다.

(3)  $\tau_{xy}$ :  $\tau_{xy}$ 에 對한 計算結果는 Fig. 4-1과 Fig. 4-2에 표시되어 있다.  $\tau_{xy}$ 의 値은  $\frac{y}{l} = 0.1$ ,  $\frac{y}{l} = 0$ ,  $\frac{x}{l} = 0$ 되는 點에서 다같이零이다.

$\tau_{xy}$ 의  $x$ 軸方向으로의 變化를 檢討하면, 다음과 같다.  $\frac{x}{l} = 0$ 에서부터  $\frac{x}{l}$ 의 値이 增加함에 따라 負의 値으로서 急激히 減少하여  $\frac{x}{l} = 0.08$ 에서 最小가 되고漸次 增加하여  $\frac{x}{l} = 0.2$ 近處에서零이된다. 그 以後에도  $\frac{x}{l}$ 의 增加와 더부리 正의 値으로서 增加하여  $\frac{x}{l} = 0.26$ 近處에서 正의 最高值를 取하고 다시 減少하여零이 되고( $\frac{x}{l} = 0.5$ 附近) 그 以後는 存在하지 않는다.  $y$ 軸方向으로 考察해보면,  $\frac{y}{l} = 0.1$ 되는 strip의 端面에서  $\frac{y}{l}$ 가 減少함에 따라 急激히 減少하여  $\frac{y}{l} = 0.06$ 附近에서 最小가 되었다가漸次 增加하여  $\frac{y}{l} = 0$ 에서零이 된다. 이것은  $\frac{x}{l} = 0.2$ 보다 작은  $x$ 의範圍에서이고  $\frac{x}{l} = 0.2$ 보다 큰  $x$ 의 部分에서는 이것과反對가 된다. 그러나 그 値은 前者範圍보다 훨씬 작다.

이러한 热應力의 變化는  $T_{(x)}$ 로서 표시되는 溫度分布의 特性 때문이다. 즉 이  $T_{(x)}$ 에 依해서 高溫部에서는 大端히 溫度가 높아서 膨脹이 極히 큰 値을 갖다가 갑자기 溫度가 降低하고 그 다음은 緩慢한 溫度分布를 이루기 때문이다.

(4)  $\sigma_x, \sigma_y, \tau_{xy}$ 의 比較:  $\sigma_x, \sigma_y, \tau_{xy}$ 를 比較해 보니 가장 큰 것은  $\sigma_y$ 이고, 가장 작은 것은  $\tau_{xy}$ 이다. 그 比率은 Fig. 5-1과 Fig. 5-2에 잘 표시되었다.

熱應力들은 溫度가 가장 높은 곳에서, 또 가장 높은 時期에 가장 큰  $\sigma_x, \sigma_y$ 가 發生하고,  $\tau_{xy}$ 는 그렇치는 않고  $\sigma_x$ 의付號가 바뀌는 곳에서 가장 크다는 것이 나타나고 있다.

## 5. 結 論

上記한 바를 綜合하여 다음과 같은 結論을 얻을 수 있었다.

- (1) 溫度分布를 Fourier 級數로 展開하므로서 焊接熱應力を 計算할 수 있다.
- (2) 計算例에 依하면 焊接線方向의 热應力이 가장 크다.
- (3) 工學的目的의 計算에 있어서는 境界條件으로서  $l$  을 두께의 5倍程度까지 작게 取할 수 있다.

## 後 記

本研究에 있어서 많은 助言을 해주신 學內의 여의 教授님들에게 謝意를 表하는 바이다.

## 參 考 文 獻

- [1] B.E. Gatewood, "Thermal Stresses", McGraw-Hill

- Book Company, Inc. 1957.
- [2] S.I. Roberts, "A Thermal Expansion Study", *Welding Journal*, p. 661-665, 1966.
- [3] K. Notvest, "Effect of Thermal Cycles in Welding D6Ac Steel", *Welding Journal R.S.*, p. 173-177, 1966.
- [4] 日本熔接學會, “日本における熔接の展望” p. 43, 日本熔接學會誌, “第 41 卷, 第 5 號, 1972.
- [5] 金在瑾, 金曉哲, “알루미늄合金의 抵抗熔接에 따른 热應力 및 残留應力의 解析,” 大韓造船學會誌, 第 9 卷, 第 2 號, 1972.
- [6] 朴鍾殷, “瞬間아아크熔接熱에 依한 母材內의 一次元的溫度分布,” 大韓造船學會誌, 第 9 卷, 第 2 號, 1972.
- [7] 渡邊正規, 佐藤邦彦, “熔接力學とその應用,” p. 246, 朝倉書店, 1965.
- [8] スミルノフ, “高等數學教程,” 第 3 卷, p. 245, 共立出版株式會社, 1966.